

Momentos dipolares débiles del τ .

Marco Antonio Arroyo Ureña.

Seminario del cuerpo académico de partículas, campos y relatividad general.

11 de febrero de 2015

- 1 Introducción.
- 2 Motivación.
- 3 Momento dipolar magnético débil del τ .
- 4 Conclusiones y perspectivas.

INTRODUCCIÓN.

	I	II	III	
masa →	3 MeV	1.24 GeV	172.5 GeV	0
carga →	$\frac{2}{3}$	$\frac{2}{3}$	$\frac{2}{3}$	0
spin →	$\frac{1}{2}$	$\frac{1}{2}$	$\frac{1}{2}$	1
nombre →	u up	c charm	t top	γ photon
	6 MeV	95 MeV	4.2 GeV	0
	$-\frac{1}{3}$	$-\frac{1}{3}$	$-\frac{1}{3}$	0
	$\frac{1}{2}$	$\frac{1}{2}$	$\frac{1}{2}$	1
Quarks	d down	s strange	b bottom	g gluon
	<2 eV	<0.19 MeV	<18.2 MeV	99.2 GeV
	0	0	0	0
	$\frac{1}{2}$	$\frac{1}{2}$	$\frac{1}{2}$	1
	ν_e electron neutrino	ν_μ muon neutrino	ν_τ tau neutrino	Z ⁰ fuerza débil
	0.511 MeV	106 MeV	1.78 GeV	80.4 GeV
	-1	-1	-1	+1
	$\frac{1}{2}$	$\frac{1}{2}$	$\frac{1}{2}$	1
Leptones	e electron	μ muon	τ tau	W ⁺ fuerza débil

Bosons (Fuerzas)

Figura : Partículas del modelo estándar.

Evidence for Anomalous Lepton Production in e^+e^- Annihilation*

M. L. Perl, G. S. Abrams, A. M. Boyarski, M. Breidenbach, D. D. Briggs, F. Bulos, W. Chinowsky,
J. T. Dakin,† G. J. Feldman, C. E. Friedberg, D. Fryberger, G. Goldhaber, G. Hanson,
F. B. Heile, B. Jean-Marie, J. A. Kadyk, R. R. Larsen, A. M. Litke, D. Lüke,‡
B. A. Lulu, V. Lüth, D. Lyon, C. C. Morehouse, J. M. Paterson,
F. M. Pierre,§ T. P. Pun, P. A. Rapidis, B. Richter,
B. Sadoulet, R. F. Schwitters, W. Tanenbaum,
G. H. Trilling, F. Vannucci,|| J. S. Whitaker,
F. C. Winkelmann, and J. E. Wiss

*Lawrence Berkeley Laboratory and Department of Physics, University of California,
Berkeley, California 94720
and Stanford Linear Accelerator Center, Stanford University, Stanford, California 94305
(Received 18 August 1975)*

We have found events of the form $e^+ + e^- \rightarrow e^\pm + \mu^\mp +$ missing energy, in which no other charged particles or photons are detected. Most of these events are detected at or above a center-of-mass energy of 4 GeV. The missing-energy and missing-momentum spectra require that at least two additional particles be produced in each event. We have no conventional explanation for these events.

We have found 64 events of the form

$$e^+ + e^- \rightarrow e^\pm + \mu^\mp + \geq 2 \text{ undetected particles} \quad (1)$$

Figura : Descubrimiento del τ

INTRODUCCIÓN.

Masa:

- $m_\tau = 1776.82 \pm 0.16 \text{ MeV}.$

Tiempo de vida media:

- $T_\tau = (290.3 \pm 0.5) \times 10^{-15} \text{ s}$

Momento dipolar magnético:

- $-0.052 < a_\tau < 0.013$

Momento dipolar eléctrico:

- $Re(d_\tau) = -0.220 \text{ a } 0.45 \times 10^{-16} \text{ ecm}$

- $Im(d_\tau) = -0.250 \text{ a } 0.0080 \times 10^{-16} \text{ ecm}$

Momento dipolar magnético débil:

- $Re(a_\tau^W) < 1.1 \times 10^{-3}, Im(a_\tau^W) < 2.7 \times 10^{-3}$

Momento dipolar eléctrico débil:

- $Re(d_\tau^W) < 0.50 \times 10^{-17} \text{ ecm}, Im(d_\tau^W) < 1.1 \times 10^{-17} \text{ ecm}$

Fuente: *PDG*.

¿Por qué estudiar al leptón τ ?

- Hay un alto nivel de comprensión en mecanismos de producción en colisionadores.
 - $e^+e^- \rightarrow \tau^+\tau^- \rightarrow e^\pm\mu^\mp\bar{\nu}_e\nu_\mu$ (*SPEAR – SLAC*),
 - $ep \rightarrow eXW^\pm \rightarrow e\tau^\pm\nu_\tau X$ (*HERA – DESY*),
 - Se pueden producir $\sim 10^9$ pares de $\tau\bar{\tau}$ anuales en el experimento: $e^+e^- \rightarrow \tau^+\tau^-$ (*BELLE*).
- El τ es el único leptón conocido lo suficientemente masivo para decaer en hadrones.

- $\tau^- \rightarrow \Lambda h^- \nu_\tau$ (violan número leptónico y bariónico)
- $\tau^- \rightarrow l^+ h^- h^-$ (violan número y sabor leptónico)
($h = \pi, K, l = e, \mu$)
- $\tau^- \rightarrow l^- l^+ l^-$, $\tau^- \rightarrow l^- \gamma$ (violan sabor leptónico) ($l = e, \mu$)
 - Violación de sabor leptónico \rightarrow Decaimientos del τ es uno de los objetivos más importantes en el Proyecto Super KEKB.
 - $BR(\tau^- \rightarrow l^- \gamma) \sim 10^{-50}$
 - $\left. \begin{array}{l} SUSY \\ LHM \\ ED \end{array} \right\}$ Predicen decaimientos con violación de sabor leptónico $O(10^{-9} - 10^{-7})$
- d_τ, d_τ^W (Violación de CP).

Momento dipolar magnético débil del τ .

PANORAMA GENERAL DEL (MSBHL).

- EL MODELO MÁS SIMPLE CON UN BOSÓN DE HIGGS LIGERO DA UNA RESPUESTA SATISFACTORIA AL PROBLEMA DE LA JERARQUÍA.
- Introduce neutrinos masivos.
- Rica fenomenología.

$$\text{Simetría global} \rightarrow [SU(3) \times U(1)]^2 \xrightarrow{\text{TeV}} [SU(2) \times U(1)]^2$$

$$\text{Simetría de norma} \rightarrow SU(3) \times U(1) \xrightarrow{\text{TeV}} SU(2) \times U(1)$$

$$\Phi_1 = e^{i\Theta \frac{f_2}{f_1}} \begin{pmatrix} 0 \\ 0 \\ f_1 \end{pmatrix}, \quad \Phi_2 = e^{-i\Theta \frac{f_1}{f_2}} \begin{pmatrix} 0 \\ 0 \\ f_2 \end{pmatrix}, \quad (1)$$

donde

$$\Theta = \frac{1}{f} \left[\frac{\eta}{\sqrt{2}} + \begin{pmatrix} 0 & 0 & h \\ 0 & 0 & \\ h^\dagger & & 0 \end{pmatrix} \right] \quad (2)$$

$h \rightarrow$ doblete del ME,

$\eta \rightarrow$ campo escalar

- Dobletes de $SU(2)$ son promovidos a tripletes de $SU(3)$

- $L^T = (\nu_L, l_L, N_L), l_R, N_R, \quad Q^T = (u_L, d_L, U), u_R, d_R, U_R$

Términos de masa:

$$\mathcal{L} = |D_\mu \Phi_i|^2, \quad (3)$$

$$\begin{aligned} \mathcal{L}_\Phi \supset & \frac{g^2 v^2}{4} \left[1 - \frac{v^2}{6f^2} \left(\frac{c_\beta^4}{s_\beta^2} + \frac{s_\beta^4}{c_\beta^2} \right) \right] W_\mu^+ W^{-\mu} \\ & + \frac{g^2 f^2}{2} \left[1 - \frac{v^2}{2f^2} + \frac{v^4}{12f^4} \left(\frac{c_\beta^4}{s_\beta^2} + \frac{s_\beta^4}{c_\beta^2} \right) \right] X_\mu^+ X^{-\mu} \end{aligned}$$

$$M_W = \frac{gv}{2} \left(1 - \frac{v^2}{12f^2} \left(\frac{c_\beta^4}{s_\beta^2} + \frac{s_\beta^4}{c_\beta^2} \right) \right) \quad (4)$$

$$M_X = \frac{gf}{\sqrt{2}} \left(1 - \frac{v^2}{4f^2} + \frac{v^4}{24f^4} \left(\frac{c_\beta^4}{s_\beta^2} + \frac{s_\beta^4}{c_\beta^2} \right) \right) \quad (5)$$

$$\mathcal{L}_X = -\frac{g}{\sqrt{2}} [iX_\mu^- \bar{l}_i \gamma^\mu (V_{im}^l N_m + \delta_\nu \nu_i) + h.c.]$$

$$\mathcal{L}_W = -\frac{g}{\sqrt{2}} W_\mu^+ \left[\left(1 - \frac{\delta_\nu^2}{2} \right) \bar{\nu}_i \gamma^\nu l_i - \delta_\nu V_{mi}^{l\ddagger} \bar{N}_m \gamma^\mu l_i + h.c. \right] \quad (6)$$

Panorama general del MSBHL.

- Partículas del modelo estándar.
- Nuevas partículas

Partícula	Masa	Espín
X^\pm	$\frac{gf}{\sqrt{2}} \left(1 - \frac{v^2}{4f^2}\right)$	1
Y^0	$\frac{gf}{\sqrt{2}}$	1
Z'	$\frac{\sqrt{2}gf}{\sqrt{3-t_W^2}}$	1
N_m	$\lambda_{Nm} \text{sen} \beta f$	1/2
U_i	$f \sqrt{(\lambda_1^{ui})^2 \cos^2 \beta + (\lambda_2^{ui})^2 \text{sen}^2 \beta}$	1/2

$$\tan \beta = f_2/f_1, \quad f = \sqrt{f_1^2 + f_2^2}$$

Cálculo del momento dipolar magnético débil del τ .

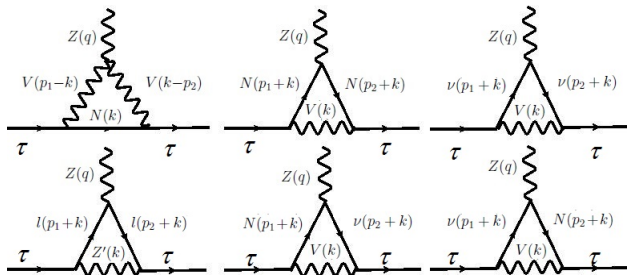


Figura : Diagramas de Feynman que contribuyen a a_τ^W .

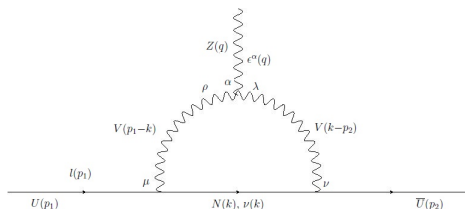


Figura : Diagrama de Feynman.

La amplitud está dada por:

$$\begin{aligned}
 \mathcal{M}_1 &= -\frac{e^2 g_L^2 J^V}{4} \epsilon^\alpha(q) \int \frac{d^D k}{(2\pi)^D} \bar{U}(p_2) \left[(1 - \gamma^5) \gamma^\nu \right] \left[\frac{(\gamma \cdot k + m_N)}{k^2 - m_N^2} \right] \left[(1 - \gamma^5) \gamma^\mu \right] U(p_1) \\
 &\times \left[\frac{1}{(p_1 - k)^2 - m_V^2} \left(g_{\mu\rho} - \frac{(p_1 - k)_\mu (p_1 - k)_\rho}{m_V^2} \right) \right] \\
 &\times \left[g^{\lambda\rho} (2k - p_2 - p_1)^\alpha + g^{\alpha\lambda} (2p_2 - p_1 - k)^\rho + g^{\rho\alpha} (2p_1 - k - p_2)^\lambda \right] \\
 &\times \left[\frac{1}{(k - p_2)^2 - m_V^2} \left(g_{\lambda\nu} - \frac{(k - p_2)_\lambda (k - p_2)_\nu}{m_V^2} \right) \right]
 \end{aligned}$$

Amplitud 1

Mediante el método de parametrización de Feynman:

$$\mathcal{M}_1 = -\frac{e^2 g_L^2 J^V}{4 (2\pi)^D} \epsilon^\alpha(q) \int_0^1 dx \int_0^{1-x} dy I^\alpha(p_1, p_2) \quad (7)$$

donde

$$\begin{aligned} I^\alpha &= \int d^D k \bar{U}(p_2) [(1 - \gamma^5) \gamma^\nu] \left[\frac{(\gamma \cdot k + m_N)}{((k - l)^2 - M^2)^3} \right] [(1 - \gamma^5) \gamma^\mu] U(p_1) \\ &\times \left[\left(g_{\mu\rho} - \frac{(p_1 - k)_\mu (p_1 - k)_\rho}{m_V^2} \right) \left(g_{\lambda\nu} - \frac{(k - p_2)_\lambda (k - p_2)_\nu}{m_V^2} \right) \right] \\ &\times \left[g^{\lambda\rho} (2k - p_2 - p_1)^\alpha + g^{\alpha\lambda} (2p_2 - p_1 - k)^\rho + g^{\rho\alpha} (2p_1 - k - p_2)^\lambda \right] \end{aligned}$$

donde

$$\begin{aligned} M^2 &= x^2 m_\tau^2 + y^2 m_\tau^2 - x m_\tau^2 + 2xym_\tau^2 - y m_\tau^2 + x m_V^2 + y m_V^2 - xym_Z^2 - (x + y - 1) m_N^2 \\ l &= (x p_1 + y p_2) \end{aligned}$$

Amplitud 1

Se puede observar que el integrando de I^α se puede escribir de la forma:

$$I^\alpha = \int d^D k R^\alpha(p_1, p_2, k) \quad (9)$$

$$R^\alpha(p_1, p_2, k) = \bar{U}(p_2) [A\gamma^\alpha + Bp_1^\alpha + C\gamma^\alpha\gamma^5 + Dp_1^\alpha\gamma^5] U(p_1) \quad (10)$$

y utilizando la identidad de Gordon:

$$2m\bar{U}(p_2)\gamma^\alpha U(p_1) = \bar{U}(p_2) [(p_1^\alpha + p_2^\alpha) + i\sigma^{\alpha\beta}q_\beta] U(p_1) \quad (11)$$

$$\Gamma_Z^\alpha(q^2) = i\sigma^{\alpha\beta}q_\beta F_2(q^2) + i\sigma^{\alpha\beta}q_\beta\gamma^5 F_3(q^2) \quad (12)$$

de donde

$$F_2(m_Z^2) = -B/2 \quad (13)$$

$$a_f^W = -2m_f F_2(m_Z^2), \quad d_f^W = -eF_3(m_Z^2) \quad (14)$$

Por lo cual:

$$(a_\tau^W)^{VVN} = -\frac{e^2 g_L^2 J^V m_\tau^2}{64\pi^4} \int_0^1 dx \int_0^{1-x} dy F(x, y, f) \quad (15)$$

donde:

$$\begin{aligned} F(x, y, f) = & -\frac{1}{m_V^4} (((-2(x+y)(2x+2y+1)m_V^2 - 2(x+y)(m_\tau(x+y-1))^2(x+y) \\ & - m_Z^2(xy(x+y-2)+1))m_V^2 + m_Z^2(x+y-1)(m_\tau^2(x+y-1)^2(x+y) - m_Z^2xy(x+y-2)) \\ & + M^2(m_Z^2(3x^2+6(y-1)x+3(y-2)y+2) - 2m_V^2(x+y)(3x+3y-4)))M^2 \\ & - 4m_V^2 + 4m_V^2x^2 - 2m_Z^2x^2 + 4m_V^2y^2 - 2m_Z^2y^2 - 4m_V^2x + 3m_Z^2x - 4m_V^2y + 3m_Z^2y \\ & + 8m_V^2xy - 4m_Z^2xy - (4(x+y-1)(2x+2y-1)m_V^2 - 4m_Z^2 - m_Z^2(x+y)(4x+4y-9)) \\ & \text{Log}(M^2) \end{aligned}$$

RESULTADO.

Finalmente:

$$a_{\tau}^W = (a_{\tau}^W)^{VVN} + (a_{\tau}^W)^{VNN} + (a_{\tau}^W)^{X\nu\nu} + (a_{\tau}^W)^{VN\nu} + (a_{\tau}^W)^{V\nu N} + (a_{\tau}^W)^{Z'II} \quad (16)$$

Límites superiores ALEPH

$$\text{Re}(a_{\tau}^W) < 1.1 \times 10^{-3}, \quad \text{Im}(a_{\tau}^W) < 2.7 \times 10^{-3}$$

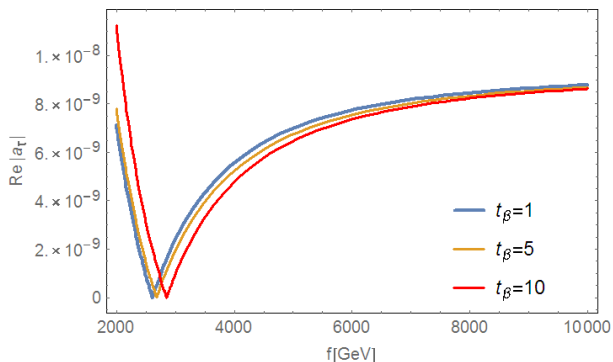


Figura : Gráfica $\text{Re}|a_{\tau}^W|$ vs $f = \sqrt{f_1^2 + f_2^2}$.

RESULTADO.

Límites superiores ALEPH

$$\text{Re}(a_\tau^W) < 1.1 \times 10^{-3}, \quad \text{Im}(a_\tau^W) < 2.7 \times 10^{-3}$$

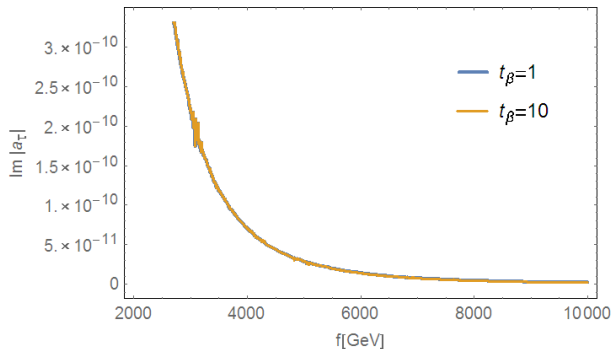


Figura : Gráfica $\text{Im}|a_\tau^W|$ vs f .

<i>Modelo</i>	a_τ	$d_\tau[\text{ecm}]$	$\text{Re}(a_\tau^W)$	$\text{Im}(a_\tau^W)$	$\text{Re}(d_\tau^W)$	$\text{Im}(d_\tau^W)[\text{ecm}]$
<i>LQ I, II</i>	10^{-8}	10^{-22}	10^{-9}	10^{-10}	10^{-22}	10^{-24}
<i>LQ III</i>	10^{-9}	—	10^{-10}	—	—	—
<i>MSSM</i>	10^{-6}	10^{-18}	10^{-6}	10^{-7}	10^{-21}	—
<i>THDM</i>	10^{-6}	10^{-24}	10^{-10}	—	10^{-22}	—
<i>UP</i>	10^{-6}	10^{-21}	10^{-9}	10^{-9}	10^{-24}	10^{-24}

<i>Modelo</i>	$\text{Re}(a_\tau^W)$	$\text{Im}(a_\tau^W)$
<i>MSBHL</i>	10^{-9}	10^{-10}

CONCLUSIONES Y PERSPECTIVAS.

- Se dió información general del leptón τ y la motivación de estudio.
- Panorama general del MSBHL.
- Se estudiaron los momentos dipolares débiles del leptón τ en el marco MSBHL, hallando:
 - $d_\tau^W = 0$
 - $Re|a_\tau^W| \sim 10^{-9}$
 - $Im|a_\tau^W| \sim 10^{-10}$
- Cálculo de los momentos electromagnéticos.

¡GRACIAS!